



Факультет Систем Управления и Робототехники

Исследование и разработка методов локализации и картирования (SLAM) для мобильной платформы на базе LEGO Mindstorms и ROS 2

Аннотация – Проект охватывает сборку платформы LEGO Mindstorms с ROS 2, разработку одометрии, тестирование ICP и AMCL, внедрение визуального SLAM (ArUco, VO SLAM) и сравнительный анализ результатов.

Ключевые слова: SLAM; ROS 2; LEGO Mindstorms; Одометрия; ICP; AMCL; Visual SLAM; VO SLAM; ArUco-маркеры; rosbag; Картирование; Локализация; LiDAR; Визуальная одометрия

Практику проходили:

студент 3-го курса, 368606

Овчинников Павел Алексеевич

студент 2-го курса, 409502

Сайфуллин Динислам Расилевич

Руководитель:

кандидат технических наук, доцент

Ведяков Алексей Алексеевич

Санкт-Петербург 2025

Содержание

Введение	3
1. Теория	4
1.1. ICP	4
1.2. AMCL	4
1.3. VO SLAM	7
2. Практика	9
2.1. День 1 (16.06)	9
2.2. День 2 (17.06)	10
2.3. День 3 (18.06)	10
2.4. День 4 (19.06)	11
2.5. День 5 (20.06)	12
2.6. День 6 (23.06)	12
2.7. День 7 (24.06)	15
2.8. День 8 (25.06)	16
2.9. День 9 (26.06)	17
Заключение	20
Список используемой литературы	21

Введение

В этой научно-исследовательской работе рассматривается реализация методов локализации и картирования (SLAM) для мобильной платформы на базе LEGO Mindstorms с использованием ROS 2. Целью работы является создание системы самонавигации робота, способной строить карту окружающей среды и определять свое положение в реальном времени.

Цель исследования: исследовать классические алгоритмы ICP, AMCL, и визуальные методы VO SLAM + ArUco для применения на платформе LEGO Mindstorms, разработать модульную архитектуру ROS 2, обеспечивающую интеграцию одометрии, лидара и камеры Realsense D435.

Задачи исследования:

1. Сборка и настройка мобильной платформы LEGO Mindstorms, реализация базовой одометрии.
2. Сборка датасета с помощью `rosvbag`.
3. Реализация и отладка алгоритмов ICP и AMCL.
4. Настройка визуального SLAM на основе ArUco-маркеров, калибровка камеры Realsense.

1. Теория

В рамках научно-исследовательской работы необходимо разобраться в работе трёх алгоритмов: *ICP*, *AMCL* и *VO SLAM*. Разберём, как работает каждый из них с теоретической точки зрения.

1.1. ICP

Алгоритм, использующий результаты сканирования лидара в качестве альтернативы одометрии, т.е. для того, чтобы определить как робот повернулся и сдвинулся.

Входные данные: два соседних измерения лидара — облака точек.

Выходные данные: сдвиг t и поворот R , совмещающие два измерения.

Сам алгоритм на языке псевдокода представлен ниже.

```
Algorithm ICP_Iteration( $S_n, S_{n-1}$ ):  
    mean_p = mean( $S_n$ )  
    mean_q = mean( $S_{n-1}$ )  
    Cov = 0  
  
    for each point  $p_i$  in  $S_n$ :  
         $q_i = \operatorname{argmin}_{q \in S_{n-1}} ||p_i - q||_2$   
        Cov += ( $q_i - \operatorname{mean}_q$ )T * ( $p_i - \operatorname{mean}_p$ )  
    endfor  
  
    [ $U, \Sigma, V_h$ ] = SVD(Cov)  
     $R = V_h^T * U^T$   
     $t = \operatorname{mean}_q - R * \operatorname{mean}_p$   
  
    return  $t, R$ 
```

Листинг 1: одна итерация алгоритма ICP

1.2. AMCL

Алгоритм, использующий одометрию робота, результаты сканирования лидара и уже построенную карту вида `binary occupancy grid` для локализации робота.

Входные данные: набор частиц на предыдущем шаге, одометрия, измерения лидара, карта окружения

Выходные данные: обновлённый набор частиц на текущем шаге.

```

Algorithm Augmented_MCL( $\chi_{t-1}$ ,  $u_t$ ,  $z_t$ ,  $m$ ):
    static  $w_{slow}$ ,  $w_{fast}$ 
     $\chi_{bar\_t} = \chi_t = \emptyset$ 
    for  $m = 1$  to  $M$ :
         $x_t^{[m]} = \text{sample\_motion\_model}(u_t, x_{t-1}^{[m]})$ 
         $w_t^{[m]} = \text{measurement\_model}(z_t, x_t^{[m]}, m)$ 
         $\chi_{bar\_t} = \chi_{bar\_t} + \langle x_t^{[m]}, w_t^{[m]} \rangle$ 
         $w_{avg} = w_{avg} + (1/M) * w_t^{[m]}$ 
    endfor
     $w_{slow} = w_{slow} + \alpha_{slow} * (w_{avg} - w_{slow})$ 
     $w_{fast} = w_{fast} + \alpha_{fast} * (w_{avg} - w_{fast})$ 
    for  $m = 1$  to  $M$ :
        with probability  $\max(0.0, 1.0 - w_{fast}/w_{slow})$ :
            add random pose to  $\chi_t$ 
        else:
            draw  $i \in \{1, \dots, N\}$  with probability  $\propto w_t^{[i]}$ 
            add  $x_t^{[i]}$  to  $\chi_t$ 
        endwith
    endfor
    return  $\chi_t$ 

```

Листинг 2: реализация AMCL

Перед нами адаптивный вариант MCL, который добавляет случайные точки, являющиеся предположением о положении робота. Количество случайных точек определяется путем сравнения краткосрочной и долгосрочной вероятности результатов измерений сенсора.

Как мы видим, для работы алгоритма необходимы `sample_motion_model` и `measurement_model`. Дадим пояснение, за что отвечает каждая из моделей:

- `motion_model` или модель движения — генерирует случайные частицы на известных пустых клетках (помеченные нулями на карте) и использует одометрию робота для того, чтобы соотнести движение частиц с движением робота;
- `measurement_model` или модель измерений — распределяет веса частицам, оценивает их стоимость и занимается их аннигиляцией, основываясь на данных сканирования лидара.

В конечном итоге остаётся некий наиболее весомый набор частиц, близкий к истинному положению робота. Таким образом при движении робота

можно локализовать его положение на уже заранее известной карте, которая была получена, в нашем случае, с помощью *ICP*.

Модель движения описывается так:

```
Algorithm sample_motion_model_velocity(u_t, x_{t-1}):
    v_hat = v + sample( $\alpha_1|v| + \alpha_2|\omega|$ )
     $\omega_{\text{hat}} = \omega + \text{sample}(\alpha_3|v| + \alpha_4|\omega|)$ 
     $\gamma_{\text{hat}} = \text{sample}(\alpha_5|v| + \alpha_6|\omega|)$ 

     $x' = x - (v_{\text{hat}} / \omega_{\text{hat}}) * \sin(\theta) + (v_{\text{hat}} / \omega_{\text{hat}}) * \sin(\theta + \omega_{\text{hat}} * \Delta t)$ 
     $y' = y + (v_{\text{hat}} / \omega_{\text{hat}}) * \cos(\theta) - (v_{\text{hat}} / \omega_{\text{hat}}) * \cos(\theta + \omega_{\text{hat}} * \Delta t)$ 
     $\theta' = \theta + \omega_{\text{hat}} * \Delta t + \gamma_{\text{hat}} * \Delta t$ 

    return  $x_i = (x', y', \theta')^T$ 
```

Листинг 3: реализация модели движения

Фактически, это алгоритм сэмплинга позиции $x_t = (x', y', \theta')^T$ из предыдущей $x_{t-1} = (x, y, \theta)^T$ и контрольной $u_t = (v, \omega)^T$. Конечная ориентация изменяется с помощью дополнительного случайного члена $\hat{\gamma}$. Переменные от α_1 до α_6 являются параметрами шума движения. Функция `sample(b)` генерирует случайную выборку из распределения с нулевым центром с дисперсией b . Мы используем выборку с нормальным распределением, которая представлена в блоке кода ниже.

```
Algorithm sample_normal_distribution(b):
    return (b / 6) * sum_{i=1 to 12} rand(-1, 1)
```

В качестве модели измерения, которая будет оценивать качество измерения и улучшать алгоритм, будем использовать модель известного соответствия, которая будет использовать ориентиры (landmarks) и уже известную карту и таким образом уточнять положение робота:

```
Algorithm sample_landmark_model_known_correspondence(f_t^i, c_t^i, m):
    j = c_t^i
     $\gamma_{\text{hat}} = \text{rand}(0, 2\pi)$ 
     $r_{\text{hat}} = r_t^i + \text{sample}(\sigma_r^2)$ 
     $\phi_{\text{hat}} = \phi_t^i + \text{sample}(\sigma_\phi^2)$ 
     $x = m_{\{j,x\}} + r_{\text{hat}} * \cos(\gamma_{\text{hat}})$ 
     $y = m_{\{j,y\}} + r_{\text{hat}} * \sin(\gamma_{\text{hat}})$ 
```

```
 $\theta = \gamma_{\text{hat}} - \pi - \phi_{\text{hat}}$   
return (x, y,  $\theta$ )T
```

Листинг 4: реализация модели измерений

1.3. VO SLAM

Алгоритм получает скорректированное изображение с камеры, ее коэффициенты искажения и матрицу K на вход. С помощью пакета `image_proc` выравниваем изображение и отправляем в алгоритм.

Входные данные: скорректированное изображение, коэффициенты искажения, матрицу K, карта окружения

Выходные данные: трансформации ArUco-маркеров.

```
Algorithm Visual_SLAM(frame, K, distCoeffs, m0):  
    gray = to_grayscale(frame)  
  
    corners_list, ids = detectMarkers(gray, marker_size, camera_matrix,  
    dist_coeffs)  
    rvecs, tvecs = estimatePose(corners_list, marker_size, camera_matrix,  
    dist_coeffs)  
    detected = {}  
    for i = 0 to len(ids)-1:  
        id = ids[i]  
        R = Rodrigues(rvec[i])  
        T_cam_m = eye(4)  
        T_cam_m[0:3, 0:3] = R  
        T_cam_m[0:3, 3] = tvec[i]  
        detected[id] = T_cam_m  
    endfor  
  
    updateMap(detected)
```

Листинг 5: реализация алгоритма визуального SLAM

Для ускорения и упрощения детектирования маркеров исходное цветное изображение конвертируется в градации серого. На полученном «сером» кадре вызывается `detectMarkers`, которая возвращает списки углов и соответствующих им уникальных ID маркеров. По найденным углам и известному физическому размеру маркеров с помощью `estimatePose` вычисляются векторы вращения `rvecs` и сдвига `tvecs` относительно камеры. Для каждого маркера собирается однородная матрица `T_cam_m`,

которая однозначно задаёт положение и ориентацию маркера в системе координат камеры. Собранный словарь `detected` (где ключ — ID маркера, значение — его матрица трансформации) передаётся функции `updateMap`, которая интегрирует новые или скорректированные положения маркеров в глобальную карту.

```
Algorithm updateMap(detected):
    if map is None:
        first_id = any key from detected
        map[first_id] = detected[first_id]
    else:
        known_ids = intersection(keys(detected), keys(map))
        if known_ids is not None:
            ref = any element of known_ids
            T_cam_ref = detected[ref]
            T_world_ref = map[ref]
            for (id, T_cam_m) in detected.items():
                if id not in map:
                    T_ref_m = inverse(T_cam_ref) @ T_cam_m
                    map[id] = T_world_ref @ T_ref_m
                end if
            end for
        end if
    end if
```

Листинг 6: функция обновления карты с маркерами

Результатом работы будет карта с положением ArUco-маркеров в пространстве.

2. Практика

2.1. День 1 (16.06)

В течение первого дня необходимо настроить окружение и изучить существующие решения и литературу касательно ICP и AMCL. Также необходимо собрать данные, которые в дальнейшем будут использоваться для повторного воспроизведения сообщений из топиков.

На ноутбук была поставлена [KDE Neon 6.3](#), основанная на Ubuntu 24.04 LTS, в которой установлен [ROS 2 Jazzy](#). Также поставлены пакеты и ноды ROS, необходимые для дальнейшей работы:

- самописный `lego_driver` для сокет-взаимодействия с Mindstorms EV3;
- [teleop_twist_keyboard](#) для ручного управления роботом;
- [urg_node2](#) для работы с лидаром Hokuyo;
- [tf_transformations](#) для пространственных преобразований в одометрии

Кроме того был инициализирован [репозиторий в GitHub](#) и установлен [Obsidian](#) для ведения логов практики.

Собрали робота на платформе Lego Mindstorms, сверху робота установили лидар (Рис. 1):

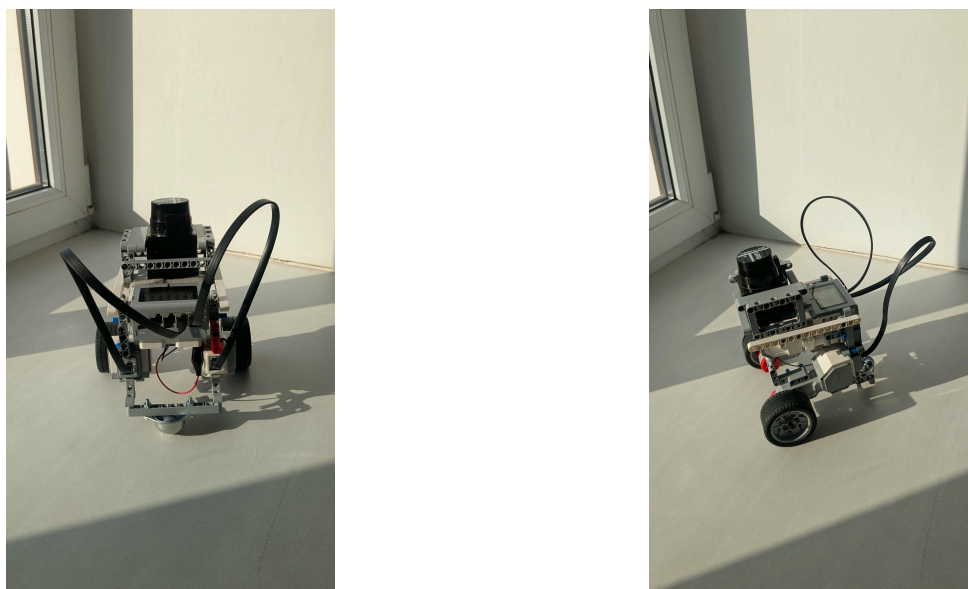


Рис. 1. Собранный робот

Датасет для повторного воспроизведения топиков был собран при помощи `rosbag`. Все собранные «бэги» весят много, поэтому для удобства они были выгружены в [отдельную папку](#) в Google Диск.

2.2. День 2 (17.06)

Разработали `ICPNode`, в рамках которой происходит вычисление ICP для облака точек, которые были записаны через `rosvbag` в течение первого дня. Алгоритм возвращает требуемые нам смещения dx , dy и поворот yaw одного облака к другому. Алгоритм работал неуверенно, поэтому, чтобы отточить его работу, мы вынесли работу ICP в отдельный Python-модуль и там реализовали сохранение gif-анимации и анимацию итераций в `matplotlib`. Результат представлен ниже.

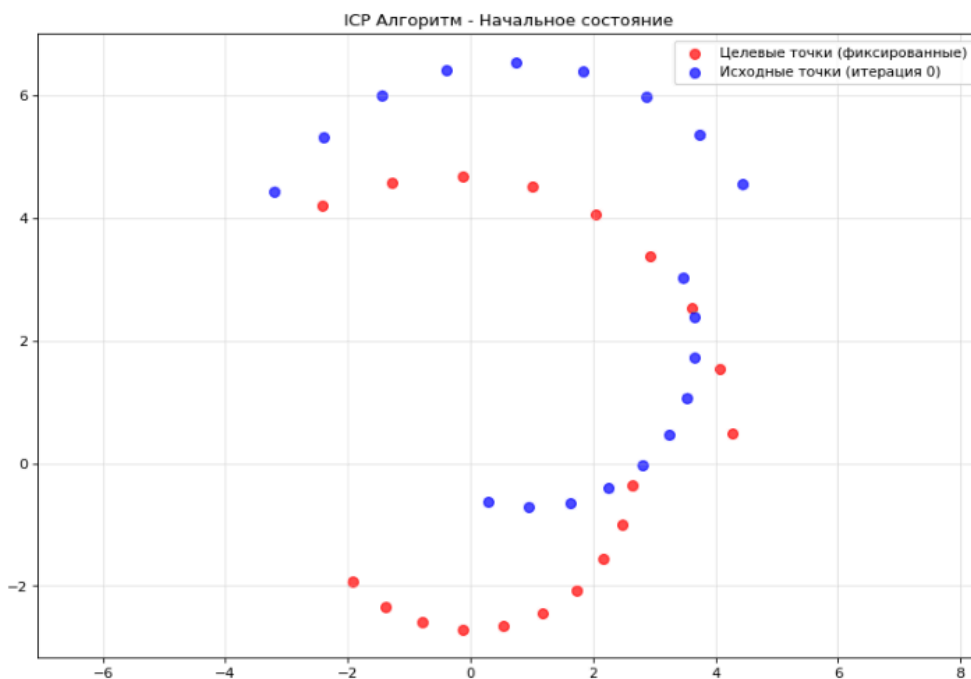


Рис. 2. Это GIF-анимация — посмотреть можно [здесь](#).

Алгоритм хорошо сходил на некотором наборе точек `dst` — для симулирования случайного преобразования и получения `src` был применён сдвиг по $dx = 1$, $dy = 2$ и поворот на 30° против часовой стрелки.

2.3. День 3 (18.06)

Как выяснилось, алгоритм хорошо работал в отдельной визуализации, но всё ещё некорректно обрабатывал на данных с лидара в `rviz2`. Это было связано с размерностями и неверным пониманием, что есть `src`, а что `dst`.

- `dst` — облако точек с предыдущего сканирования лидаром;
- `src` — новое облако точек, которое необходимо подвинуть к `dst`.

В случае с алгоритмом, описанным в ICP, `src` является S_n , а `dst` является S_{n-1} . Таким образом, в течение дня отлаживался алгоритм, чтобы он верно работал:

- Перебор всех ближайших точек был заменён на оптимальный `KDTree` из `sklearn.neighbors`;
- Проверили, что `SVD` в `numpy` работает так, как мы ожидаем, и возвращает правильные матрицы.

Начали записи сканов с лидара в `pkl` -файлы, чтобы воспроизводить сканы в `matplotlib` и отлаживать алгоритм там.

2.4. День 4 (19.06)

Параллельно с ICP приступаем к реализации алгоритма MCL. Создадим визуализацию, чтобы в `matplotlib` можно было увидеть ход работы. Первые неудачные результаты можно увидеть ниже.

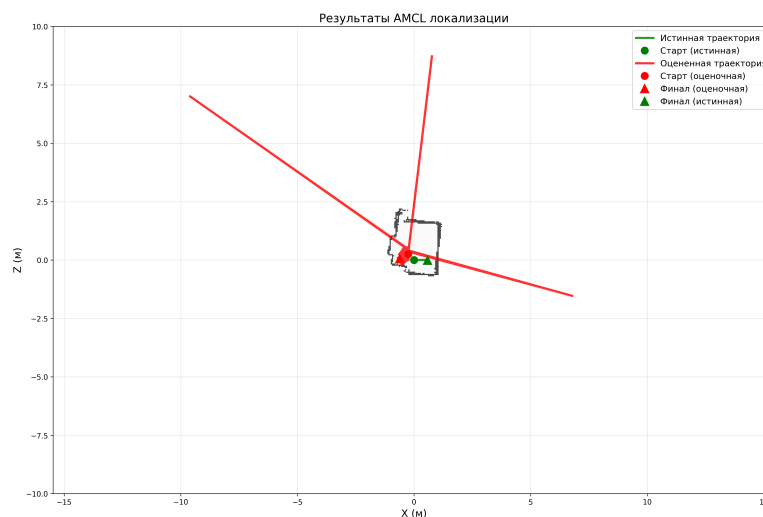


Рис. 3. Результат работы первой версии алгоритма AMCL.

Очевидно, алгоритм требует доработки. Основная проблема заключалась в выставлении ориентиров и скачках ошибки локализации при повороте робота на месте.

Принято решение согласовывать алгоритм ICP совместно с преподавателем. Подбирались различные методы вычисления на определённых шагах — в частности методы вычисления ближайших соседей и фильтрации связей один ко многим, чтобы достичь связей один к одному. Это было необходимо для улучшения работы алгоритма.

2.5. День 5 (20.06)

Пятый день ушёл на настройку камеры Intel RealSense D435 Depth Camera и виртуального окружения для него, в частности установка Python 3.11. Был установлен `pyrealsense2` и была проверена работа камеры с помощью [кода из GitHub](#).

Начали процесс интеграции в ROS2 и столкнулись с проблемой — ROS пытается использовать установленную системно версию Python 3.12. Использование версий Python и виртуальных окружений через `uv`, а также попытки запустить ROS2 на версии 3.11 не увенчались успехом.

Было решено использовать встроенную в ROS реализацию `realsense2_camera`. Сначала устанавливаем необходимые зависимости для работы:

```
sudo apt-get install ros-jazzy-realsense2-camera ros-jazzy-realsense2-  
description
```

И запускаем ноду, работающую с камерой:

```
ros2 launch realsense2_camera rs_launch.py pointcloud.enable:=true
```

Затем запускаем узел с включённой генерацией облака точек. Калибровку камеры проверяли с помощью примеров из репозитория: обнаружили, что без привязки к TF-фреймам маркерные трансформации «гуляли» — поэтому необходимо настроить статический трансформ из `/camera_link` в `/base_link`, чтобы последующие подсчёты позиций маркеров в глобальной системе шли корректно.

2.6. День 6 (23.06)

Шестой день ушёл на доработку ноду с алгоритмом ICP. Основной задачей было конвертировать облако точек `PointCloud` от лидара в `OccupancyGrid` для публикации карты. Сгенерировали сетку 20 × 20 м с разрешением 5 см/ячейка: неизвестные ячейки получили -1, свободные — 0, препятствия — 100.

При реализации столкнулись с проблемами — при каждом новом скане карта составлялась целиком, и свободные области постепенно исчезали. Решением стал переход на накопительную стратегию: храним массив

предыдущих значений и обновлем только те ячейки, где действительно появляются новые препятствия или освобождаются участки. Для заполнения свободного пространства была реализована трассировка лучей алгоритмом Брезенхема, а не просто пороговое преобразование глубины: это убрало «пробелы» и дрожание светлых зон при визуализации в RViz.

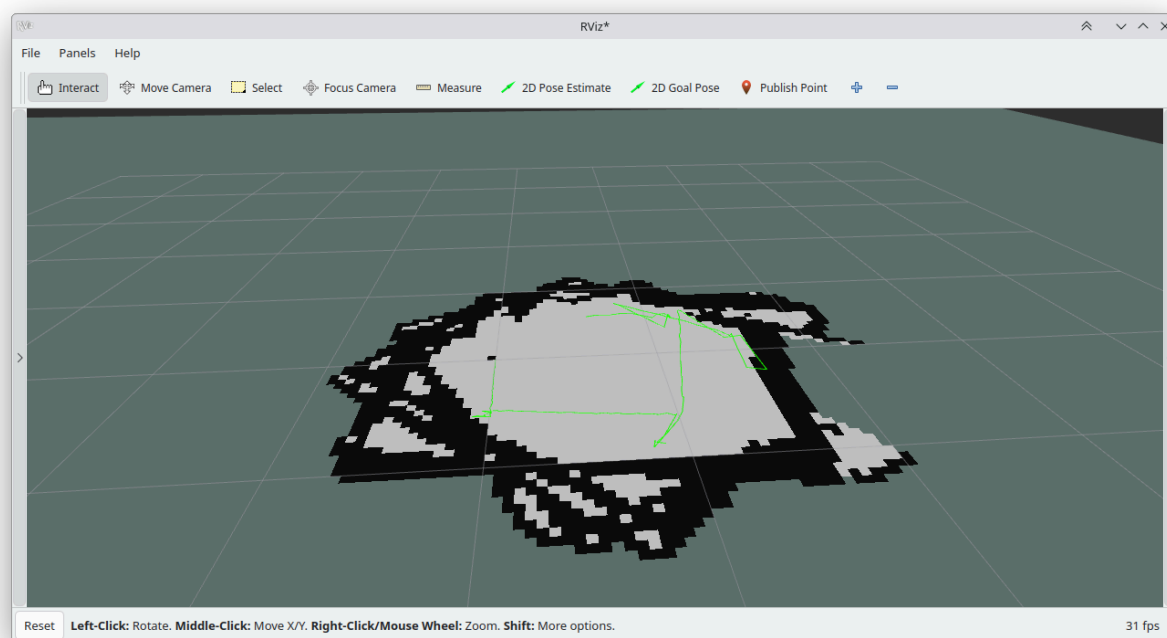


Рис. 4. Результат работы первой версии алгоритма ICP.

Далее были подобраны оптимальные параметры алгоритма для построения карты и отлажен код. Итоговый результат работы построения карты с помощью лидара:

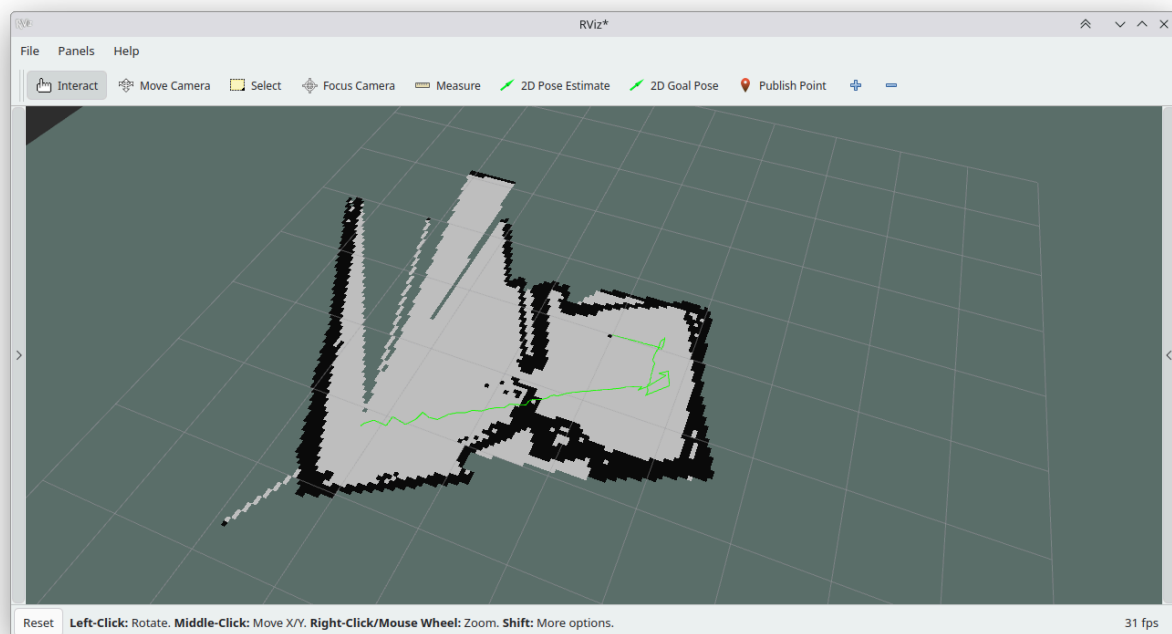
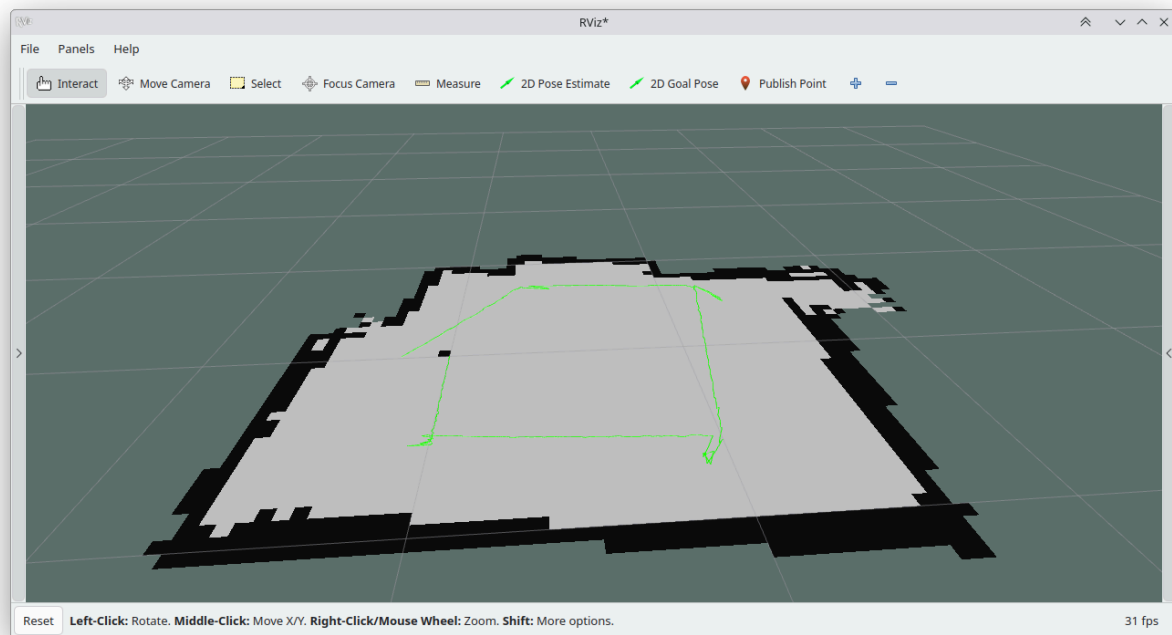


Рис. 5. Результат построения карты.

Под конец дня обсудили с преподавателем работу AMCL с визуализацией в `matplotlib`. Для дальнейшей работы из результата работы ICP были выгружены необходимые данные: карта из топика `/map`, сканы с лидара `/scan` и одометрия `/odom` с корректировкой алгоритма ICP. Карта будет использоваться в `measurement_model`, а одометрия — в `motion_model`.

2.7. День 7 (24.06)

Приступаем к разработке ноды `slam_node` для реализации алгоритма VO SLAM. Необходимо считать изображение из топика `/camera/camera/color/image_rect_color` и матрицы преобразования камеры realsense из `/camera/camera/color/camera_info`, чтобы скорректировать искажение камеры, и с помощью `opencv` определять Aruco-маркеры и находить направления их осей. Результат поиска маркеров в `RViz`.

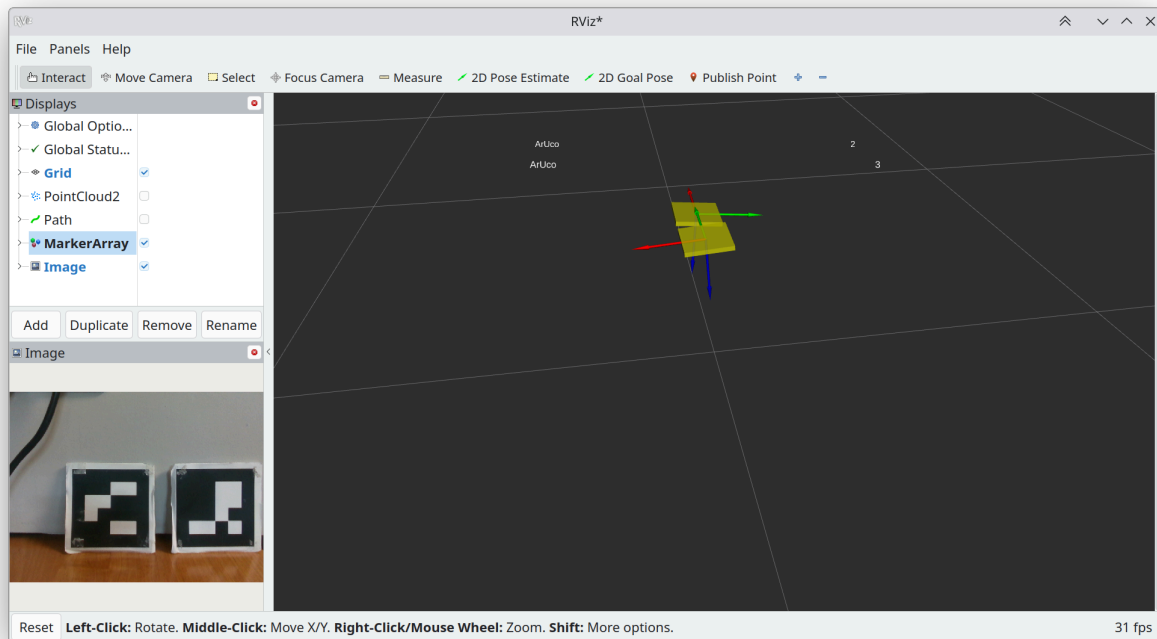


Рис. 6. Визуализация отслеживания Aruco-маркеров в `RViz`.

Также в этот день оттачивалась работа алгоритма AMCL и изучалось, как встроить данные с лидара и одометрию робота в `measurement_model` и `motion_model` соответственно. Приходим к выводу, что существующий алгоритм недостаточно хорош для этого, поэтому появилась необходимость в переписании и использовании нового решения.

Руководитель практики отправил [новый документ](#), содержащий описание работы ресемплинга и взаимодействия с картой, одометрией и сканами с лидара. В том же репозитории с документом имеется [шаблон MCL](#), который был использован для своей реализации.

2.8. День 8 (25.06)

Реализован AMCL на реальных данных — с одометрией, сканами с лидара и картой, сформированной через ICP по тем же сканам с лидарам.

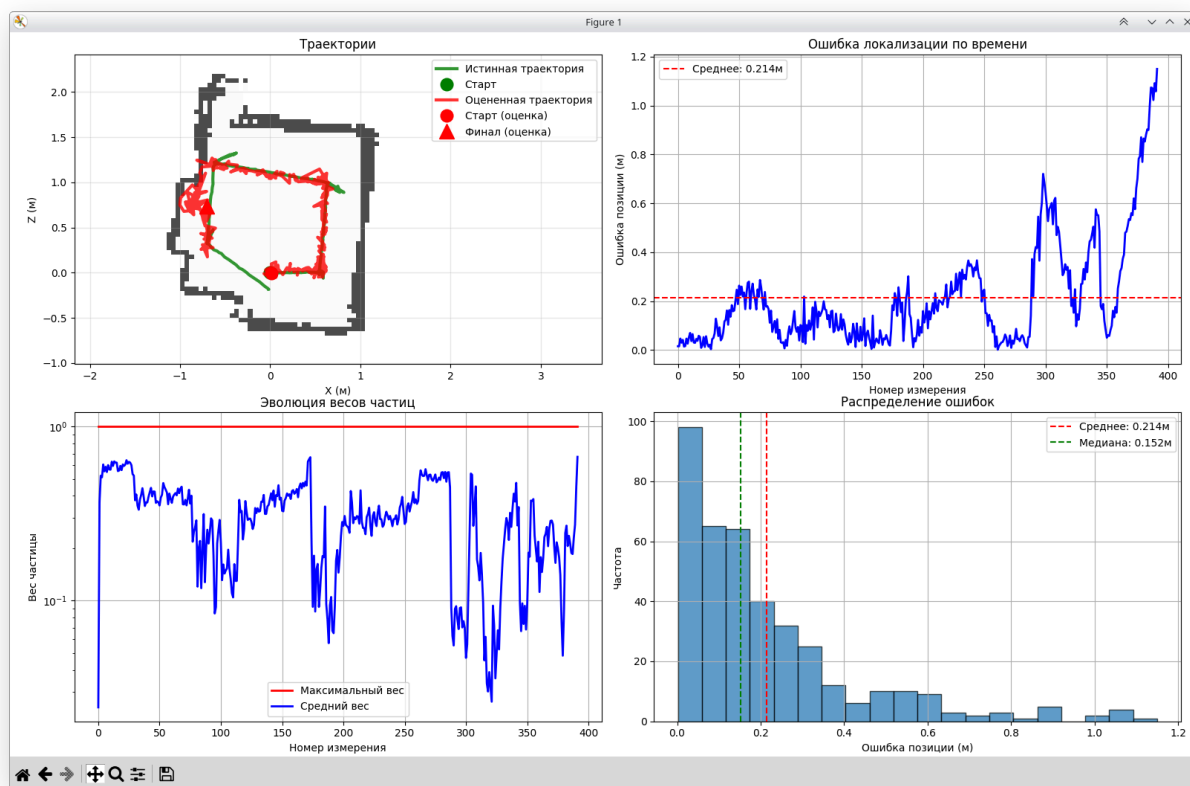


Рис. 7. Визуализация работы AMCL на реальных данных и ошибок вычислений.

Алгоритм работает в целом неплохо до предпоследнего поворота — исправить эту ошибку, увы, так и не удалось. На Рис. 7, что после 280-й позиции робота ошибка локализации растёт, а в эволюции весов наблюдаются скачки.

Также в этот день начинаем тестировать алгоритм визуального SLAM, который использует ArUco-маркеры в качестве ориентиров для построения карты окружающего пространства и локализации камеры в этой карте. Для этого вычисляем положение маркеров в системе координат камеры и переводим их в глобальную координатную систему. В процессе обнаружили две главные трудности:

- смещение карты из-за накопления погрешностей между сменами маркеров;
- локализация камеры работает нестабильно.

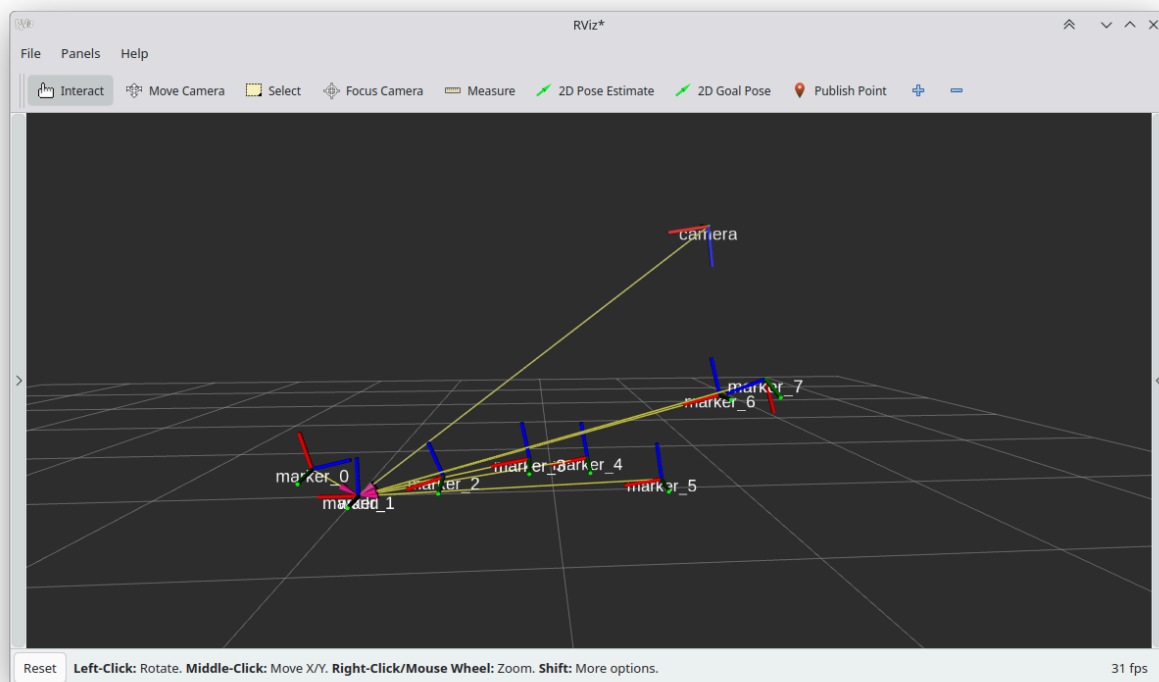


Рис. 8. Расположение ArUco-маркеров в глобальных координатах.

Чтобы частично сгладить эти эффекты, стали хранить позы последних маркеров относительно первого распознанного маркера.

2.9. День 9 (26.06)

Отладили алгоритм: добавили возможность локализоваться камере относительно ArUco-маркеров на полигоне — положение определяется корректно. Далее был подготовлен полигон для съемки – расклеили по периметру комнаты уникальные ArUco-маркеры примерно на одной высоте. В процессе съемок столкнулись с проблемой, что угол обзора камеры слишком мал из-за чего в кадр попадают только 2 маркера и карта строится неверно:

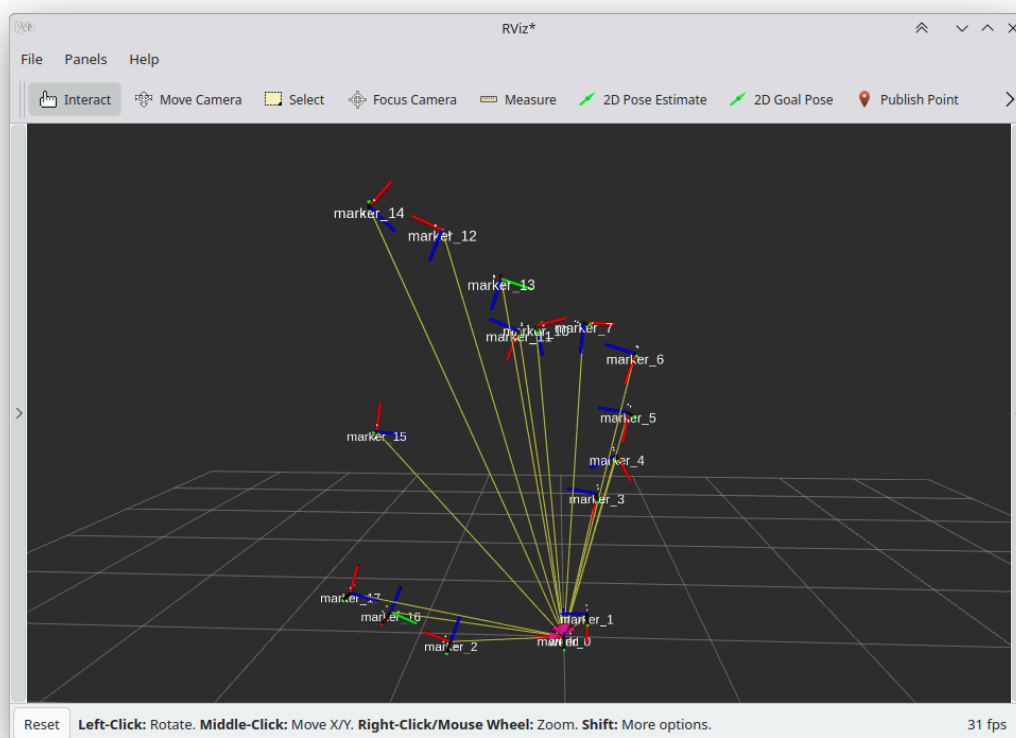


Рис. 9. Первая попытка построения карты алгоритмом VO SLAM. Пришли к выводу, что необходимо наклеить больше маркеров. Примерное расстояние между ними стало 20–30 см и комната выглядит так:

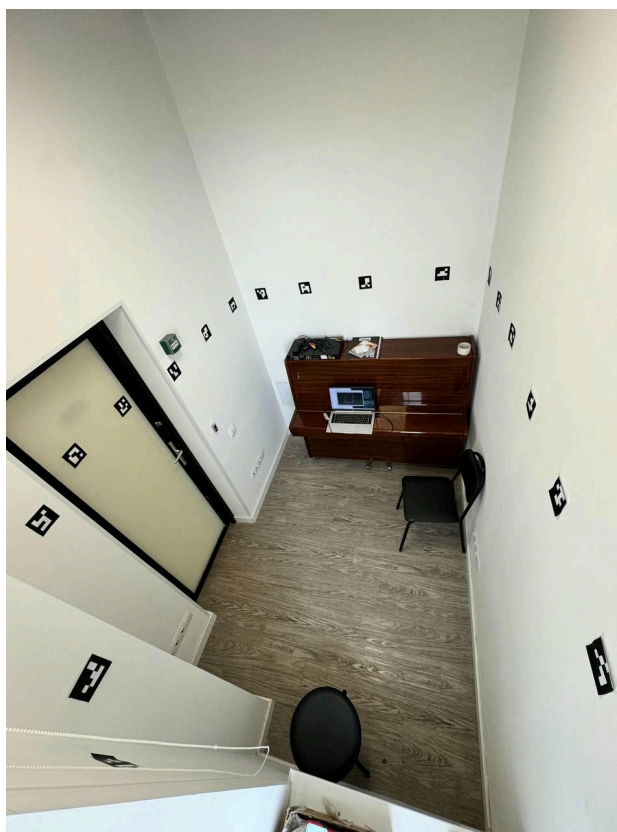


Рис. 10. Комната с ArUco-маркерами.

Запустили алгоритм и разными способами снимали карту. Карта строилась «по спирали» и камера неправильно локализовалась на стыке двух маркеров. Самый оптимальный вариант съёмки: вращение камеры на 360° в центре комнаты — тогда все маркеры оказываются в одной плоскости.

Результат работы алгоритма:

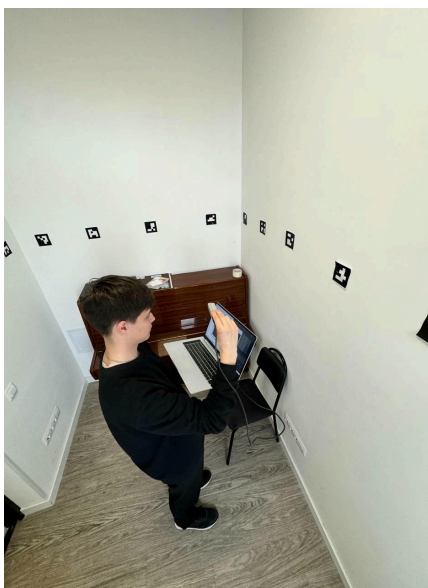
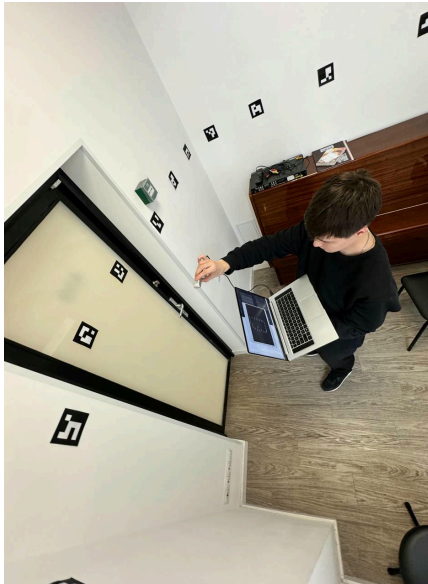


Рис. 11. Результат локализации робота

В результате получилось собрать координаты и направление каждого маркера. Камера отлично локализуется в комнате. Это работоспособный каркас для построения карты окружения и локализации, однако требуется дальнейшая доработка фильтрации соответствий, интеграция IMU для

компенсации дрейфа и более гибкая стратегия ресемплинга частиц в AMCL при слабой плотности препятствий.

Заключение

В результате выполнения работы были реализованы несколько методов SLAM для мобильного робота на базе LEGO Mindstorms и ROS 2.

Основные достижения:

- Успешно собраны и настроены аппаратные и программные компоненты платформы: робот, ПО и ноды;
- Разработали пайплайн для работы с роботом:
 1. Соединение с роботом по SSH
 2. Запуск `lego_driver` локально
 3. Запуск `sockClient` на роботе
 4. Загрузка `urg_node2` для работы лидара
 5. Запуск `teleop_twist_keyboard` для управления роботом с ноутбука
 6. Запуск `rviz2` для визуализации
- Собраны датасеты для повторного воспроизведения сообщений из топиков;
- Реализованы алгоритмы ICP и AMCL, разработаны соответствующие ноды;
- Настроен визуальный SLAM с использованием ArUco-маркеров;
- Проведены эксперименты, предложены направления доработки.

Данная работа создаёт прочную основу для дальнейшего развития гибридных SLAM-систем на мобильных платформах. В перспективе возможно внедрение алгоритмов на платформу, использование нейросетевых методов для извлечения признаков и повышение устойчивости в динамических условиях.

Список используемой литературы

- [1] Википедия, «Итеративный алгоритм ближайших точек [Электронный ресурс]». [Онлайн]. Доступно на: https://ru.wikipedia.org/wiki/%D0%98%D1%82%D0%B5%D1%80%D0%B0%D1%82%D0%B8%D0%B2%D0%BD%D1%8B%D0%B9_%D0%B0%D0%BB%D0%B3%D0%BE%D1%80%D0%B8%D1%82%D0%BC_%D0%B1%D0%BB%D0%B8%D0%B6%D0%B0%D0%B9%D1%88%D0%B8%D1%85_%D1%82%D0%BE%D1%87%D0%B5%D0%BA
- [2] LearnOpenCV, «Understanding Iterative Closest Point (ICP) Algorithm with Code [Электронный ресурс]». [Онлайн]. Доступно на: <https://learnopencv.com/iterative-closest-point-icp-explained/>
- [3] Wikipedia, «Monte Carlo localization [Электронный ресурс]». [Онлайн]. Доступно на: https://en.wikipedia.org/wiki/Monte_Carlo_localization
- [4] L. Ronghua и H. Bingrong, «CEAMCL [Электронный ресурс]». [Онлайн]. Доступно на: <https://arxiv.org/pdf/cs/0411021>
- [5] S. Das, «Robot localization in a mapped environment using Adaptive Monte Carlo algorithm [Электронный ресурс]». [Онлайн]. Доступно на: <https://www.overleaf.com/articles/robot-localization-in-a-mapped-environment-using-adaptive-monte-carlo-algorithm/dxyhwhsyjfbt.pdf>
- [6] T. Lattia, «Adaptive Monte Carlo Localization in ROS [Электронный ресурс]». [Онлайн]. Доступно на: <https://trepo.tuni.fi/bitstream/handle/10024/134867/TuomasLattia.pdf>
- [7] S. He, T. Song, P. Wang, C. Ding, и X. Wu, «An Enhanced Adaptive Monte Carlo Localization for Service Robots in Dynamic and Featureless Environments», *Journal of Intelligent & Robotic Systems*, т. 104, вып. 2, сс. 1–20, 2023, doi: [10.1007/s10846-023-01858-7](https://doi.org/10.1007/s10846-023-01858-7).
- [8] M. V. babu и A. V. Ramprasad, «Adaptive self-localized DQMCL scheme for WSN based on antithetic Markov process», *International Journal of Engineering Trends and Technology*, т. 14, вып. 6, сс. 274–280, 2014, [Онлайн]. Доступно на: <https://enggjournals.com/ijet/docs/IJET14-06-02-053.pdf>
- [9] L. Zhang, R. Zapata, и P. Lépinay, «Self-adaptive Monte Carlo Localization for Mobile Robots Using Range Finders [Электронный ресурс]». [Онлайн]. Доступно на: <https://hal-lirmm.ccsd.cnrs.fr/lirmm-00806955/document>

- [10] S. Thrun, W. Burgard, и D. Fox, *Probabilistic Robotics*. Cambridge, MA: MIT Press, 2005. [Онлайн]. Доступно на: <https://docs.ufpr.br/~danielsantos/ProbabilisticRobotics.pdf>
- [11] ROS Wiki, «icp (ROS Fuerte) [Электронный ресурс]». [Онлайн]. Доступно на: <https://wiki.ros.org/icp>
- [12] PRBonn, «KISS-ICP [Электронный ресурс]». [Онлайн]. Доступно на: <https://github.com/PRBonn/kiss-icp>
- [13] Ishfaz, «ROS-Point-Cloud-ICP [Электронный ресурс]». [Онлайн]. Доступно на: <https://github.com/Ishfaz/ROS-Point-Cloud-ICP>
- [14] ROS Wiki, «amcl (ROS Melodic/Noetic) [Электронный ресурс]». [Онлайн]. Доступно на: <https://wiki.ros.org/amcl>
- [15] laygond, «Adaptive Monte Carlo Localization [Электронный ресурс]». [Онлайн]. Доступно на: <https://github.com/laygond/Adaptive-Monte-Carlo-Localization>
- [16] PyPI, «pyrealsense2 [Электронный ресурс]». [Онлайн]. Доступно на: <https://pypi.org/project/pyrealsense2/>
- [17] GitLab, «MCL [Электронный ресурс]». [Онлайн]. Доступно на: https://gitlab.u-angers.fr/cours/mobile_robotic_student/-/blob/master/documents/MCL/MCL.pdf
- [18] A. Zhou, T. Funkhouser, M. Kazhdan, J. Chen, H. Dong, и J. Savarese, «Zipper: Fast approximate nearest neighbor search [Электронный ресурс]». [Онлайн]. Доступно на: <https://graphics.stanford.edu/papers/zipper/zipper.pdf>
- [19] G. Cignoni, F. Ganovelli, и R. Scopigno, «RANSAC-ICP: RANSAC Meets ICP [Электронный ресурс]». [Онлайн]. Доступно на: https://vcg.isti.cnr.it/~cignoni/GMP2223/PDF/GP2123_12_RansacICP.pdf